

Сумський державний університет
Факультет технічних систем та енергоефективних технологій
Кафедра екології та природозахисних технологій
Спеціальність 183 «Технології захисту навколишнього середовища»

ЗАТВЕРДЖУЮ:

Зав. кафедрою _____

“ _____ ” _____ 20__ р.

ЗАВДАННЯ
НА КВАЛІФІКАЦІЙНУ РОБОТУ МАГІСТРА

Дроботова Григорія Володимировича
(прізвище, ім'я, по батькові)

1. Тема проекту (роботи) Зменшення техногенного навантаження на атмосферу від підприємств хімічної промисловості шляхом модернізації газоочисного обладнання затверджена наказом по університету від “20” листопада 2023 р. № 1306-VI
2. Термін здачі студентом закінченого проекту (роботи) 25 грудня 2023 року _____
3. Вихідні дані до проекту (роботи) Технологічний регламент виробництва гранульованого суперфосфату на ПАТ «Сумхімпром», Інвентаризація викидів в атмосферне повітря від стаціонарних джерел ПАТ «Сумхімпром», аналітична записка про стан забруднення атмосферного повітря в м. Суми
4. Зміст розрахунково–пояснювальної записки (перелік питань, що їй належить розробити) вплив пилогазових викидів промислових виробництв на навколишнє середовище; характеристика промислового пилу; вплив пилогазових викидів хімічних виробництв на здоров'я людини; порівняльний аналіз існуючого пиловловлювального обладнання; апарати сухого очищення; апарати мокрого очищення газів; очистка відхідних газів при виробництві гранульованого суперфосфата; розрахунок ПТВО для очистки газу від пилу; економічна частина; методика оцінки інвестицій в природоохоронну діяльність; класифікація показників економічної ефективності; розрахунок економічного збитку від забруднення атмосфери; охорона праці та безпека в надзвичайних ситуаціях; аналіз небезпечних та шкідливих факторів; висновок; список використаних джерел
5. Перелік графічного матеріалу (з точним зазначенням обов'язкових креслень) Карта забруднення атмосферного повітря України, основні забруднювачі атмосферного повітря в Сумській області, класифікація пилогазоочисного

обладнання, основні показники високоінтенсивних схем пилоочистки, загальний вигляд установки ПТВО, механізми пиловловлювання.

6 Консультанти по проекту (роботі), із значенням розділів проекту, що стосуються їх

Розділ	Консультант	Підпис, дата	
		Завдання видав	Завдання прийняв
Охорона праці	Фалько В. В.		

КАЛЕНДАРНИЙ ПЛАН

№	Назва етапів дипломного проекту (роботи)	Термін виконання етапів проекту (роботи)	Примітка
1	Літературний огляд за досліджуваною проблематикою	Вересень 2023 р.	
2	Основні методи збору та зберігання ТПВ, утилізація та способи переробки ТПВ	Жовтень 2023 р.	
3	Визначення ефективності реалізації проекту введення роздільного збору по м. Суми, 2-х контейнерна схема збору ТПВ	Жовтень-листопад 2023 р.	
4	Складування та переробки твердих побутових відходів	Листопад 2023 р.	
5	Робота над розділом «Охорона праці»	Грудень 2023 р.	
6	Оформлення роботи	Грудень 2023 р.	

7 Дата видачі завдання 25.09.2023 року

Студент _____

Г. В. Дроботов

Керівник проекту _____

Р. А. Васькін

РЕФЕРАТ

Структура та обсяг випускної кваліфікаційної роботи магістра.
Робота складається із вступу, п'яти розділів, висновків, переліку використаних джерел, який містить 44 найменування. Загальний обсяг кваліфікаційної роботи магістра становить 94 с., у тому числі 12 таблиць, 17 рисунків, та список використаних джерел.

Мета роботи – полягає у пошуку шляхів зменшення техногенного навантаження на атмосферу від підприємств хімічної промисловості, на прикладі ВАТ «Суміхімпром».

Для досягнення поставленої мети розглядалися наступні задачі:

- аналіз стану навколишнього середовища по Україні;
- аналіз впливу твердих частинок на довкілля;
- аналіз факторів, які впливають на ефективність пилоочищення;
- аналіз конструкцій пилоочисного обладнання.

Об'єкт дослідження – пиловловлюючий апарат із провальними тарілками великих отворів.

Предмет дослідження – шляхи модернізації системи газоочищення цеху виробництва складних мінеральних добрив.

Методи дослідження: літературний огляд, теоретичний аналіз літературних даних, статистична обробка інформації, математичне моделювання, системний аналіз.

Ключові слова: ПИЛОГАЗООЧНЕ ОБЛАДНАННЯ, ГРАНУЛЬОВАНИЙ СУПЕРФОСФАТ, ПАТ СУМИХІМПРОМ, ВІДХОДИ, ПРОВАЛЬНІ ТАРІЛКИ З ВЕЛИКИМИ ОТВОРАМИ.

ЗМІСТ

Стор.

Вступ	5
РОЗДІЛ 1 ВПЛИВ ПИЛОГАЗОВИХ ВИКИДІВ ПРОМИСЛОВИХ ВИРОБНИЦТВ НА НАВКОЛИШНЄ СЕРЕДОВИЩЕ	7
1.1 Характеристика промислового пилу	9
1.2 Вплив пилогазових викидів хімічних виробництв на здоров'я людини	14
РОЗДІЛ 2 ПОРІВНЯЛЬНИЙ АНАЛІЗ ІСНУЮЧОГО ПИЛОВЛОВЛЮВАЛЬНОГО ОБЛАДНАННЯ	22
2.1 Апарати сухого очищення	22
2.2 Апарати мокрого очищення газів	44
РОЗДІЛ 3 ОЧИСТКА ВІДХІДНИХ ГАЗІВ ПРИ ВИРОБНИЦТВІ ГРАНУЛЬОВАНОГО СУПЕРФОСФАТА	57
3.1 Розрахунок ПТВО для очистки газу від пилу	65
РОЗДІЛ 4. ЕКОНОМІЧНА ЧАСТИНА	68
4.1 Методика оцінки інвестицій в природоохоронну діяльність	68
4.2 Класифікація показників економічної ефективності	72
4.3 Розрахунок економічного збитку від забруднення атмосфери	73
РОЗДІЛ 5. ОХОРОНА ПРАЦІ ТА БЕЗПЕКА В НАДЗВИЧАЙНИХ СИТУАЦІЯХ	77
5.1 Аналіз небезпечних та шкідливих факторів	77
5.2 Розрахунок повітреобміну	84
5.3 Безпека в надзвичайних ситуаціях	88
ВИСНОВОК	90
СПИСОК ВИКОРИСТАНИХ ДЖЕРЕЛ	91

Підп. і дата	
Інв. № дубл.	
Взаєм. інв. №	
Підп. і дата	

ТС 93454

Інв. № подл.	
--------------	--

Вип.	Арк.	№ докум.	Підп.	Дата		Літ.	Аркуш	Аркушів
		Розроб. Дроботов			Зменшення техногенного навантаження на атмосферу від підприємств хімічної промисловості шляхом модернізації газоочисного обладнання		4	87
		Перев. Васькін						
		Н.Контр. Батальцев				СумДУ, ЦЗДВН, група ТС.мз-22с		
		Затв. Пляцук						

Донецьк (в основному, за рахунок підприємств металургійної промисловості), Горлівка,Слов'янськ, Лисичанськ, Держинськ,Рубіжне (за рахунок підприємств хімічної промисловості); Центрального регіону: Кривий Ріг, Дніпродержинськ, Дніпропетровськ (за рахунок підприємств металургійної промисловості); Західного регіону – у м. Хмельницький; Південного регіону: Армянськ, Красноперекопськ, Одеса, Херсон; Північного регіону – у м. Суми .

Джерелами надходження пилу у атмосферне повітря є наступні види економічної діяльності: промислова енергетика, видобування енергетичних матеріалів, металургія та оброблення металу, видобування металевих руд, добування та виробництво нерудних матеріалів, видобування кам'яного вугілля, бурого вугілля та торфу.

Основними забруднювачами атмосфери в області є підприємства добувної та переробної галузей, діяльність трубопровідного транспорту з транспортування газу, виробництво та розподілення електроенергії, газу та води (табл. 1.1.).

Таблиця 1.1 - Основні забруднювачі атмосферного повітря

№ п/п	Підприємство - забруднювач	Відомча приналежність	Валовий викид, т		Зменшення/- збільшення/+	Причина зменшення/ збільшення
			2020 р.	2019 р.		
1.	Сумське ЛВУМГ	ДК "Укртрансгаз" УМГ "Київтрансгаз"	9980	11135	-	Зменшення кількості ремонтів технологічного обладнання.
2.	ТОВ «Сумитеплоенерго»	-	5140	2010	+	Перехід роботи котлів на вугілля.
3.	Качанівський ГПЗ	ВАТ "Укрнафта"	3600	2538	+	Збільшення кількості ремонтів технологічного обладнання.
4.	НГВУ "Охтирканафтогаз"	ВАТ "Укрнафта"	3150	3120	+	Збільшення кількості ремонтів технологічного обладнання.
5.	НГВУ "Полтавнафтогаз"	ВАТ "Укрнафта"	1700	1500	+	Збільшення кількості ремонтів технологічного обладнання.
6.	ВАТ "Суміхімпром"	Мінпромполітики України	1280	3374	-	Зменшення обсягів виробництва.
7.	ВАТ "Сумське НВО ім. М.В. Фрунзе"	Мінпромполітики України	610	978	-	Зменшення обсягів виробництва.

Підп. і дата
Інв.№ дубл.
Взаєм.інв.№
Підп. і дата
Інв.№ подл.

ТС 93454

Арк

12

Вип Арк № докум. Підп. Дата

У структурі промислового потенціалу області більше 85% викидів забруднюючих речовин припадає на екологічно небезпечні виробництва таких галузей: діяльність транспорту та зв'язку - 10,342 тис. т, або 35,4% від загальних викидів стаціонарними джерелами по області; добувна промисловість - 8,635 тис. т, або 29,59%; виробництво та розподілення електроенергії, газу та води - 5,664 тис. т, або 19,4%; переробна промисловість - 3,758 тис. т або 12,9% .

У 2020 р. в атмосферне повітря стаціонарними джерелами було викинуто 29,185 тис. тонн забруднюючих речовин, у порівнянні з 2019 р. викиди зменшились на 0,465 тис. тонн або на 1,6%. Зменшення обсягів викидів забруднюючих речовин в атмосферне повітря у Сумській області у 2017-2020 рр. пов'язане зі зменшенням обсягів виробництва.

В останні роки проблему забруднення повітря в області визначають не тільки викиди стаціонарних джерел, а більшою мірою викиди від автотранспорту.

У Сумській області 65% від загального обсягу викидів (54,2 тис. т) складають викиди від автотранспорту; у м. Суми викиди від автотранспорту складають 58,2% від загального обсягу викидів міста (13,14 тис. т). Тому проблема загазованості міст області викидами від автотранспорту є основною.

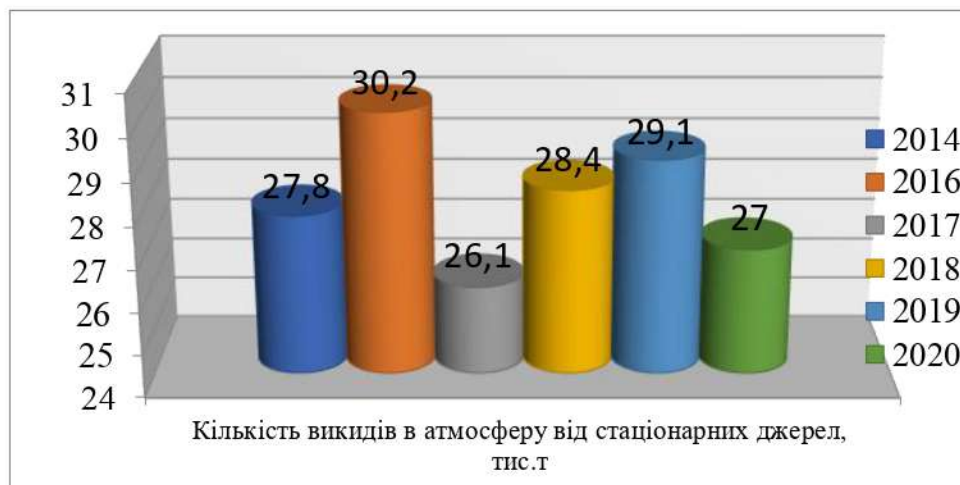


Рисунок 1.1 - Динаміка викидів забруднюючих речовин в Сумській області від стаціонарних джерел

Підп. і дата
Інв.№ дубл.
Взаєм.інв.№
Підп. і дата
Інв.№ подл.

РОЗДІЛ 2 ПОРІВНЯЛЬНИЙ АНАЛІЗ ІСНУЮЧОГО ПИЛОВЛОВЛЮВАЛЬНОГО ОБЛАДНАННЯ

2.1 Апарати сухого очищення

Вибираючи систему пиловловлювання, слід враховувати швидкість газового потоку, вміст пилу та його фізико-хімічні властивості, розмір часточок і наявність водяної пари. Існує два види пиловловлювання: сухе і мокре. З екологічного й економічного погляду досконалішими є сухі пиловловлювачі. Вони дають змогу повернути у виробництво вловлений пил, тоді як при мокрому утворюються водяні суспензії, переробка яких потребує більших матеріальних затрат.[31-33] Недоліком сухого пилоочищення є те, що воно забезпечує високий ступінь очищення тільки у разі малої запиленості відхідних газів.

Механічне сухе пиловловлювання здійснюють в осаджувальних камерах, циклонних сепараторах, механічних та електричних фільтрах. В осаджувальних камерах очищають гази з грубодисперсними часточками пилу розміром від 50 до 500 мкм і більше. Ефективнішою є осаджувальна камера Говарда в якій газовий потік розбивається горизонтальними пластинами на окремі секції. Незважаючи на незначний аеродинамічний опір і невисоку вартість, ці апарати застосовують рідко через труднощі їх очищення. З них відхідні гази направляють в інші, ефективніші апарати для подальшого очищення.

Значно поширеніші циклонні сепаратори. У них запилений газ, обертаючись по спіралі, відкидає часточки пилу на стінки апарата, звідки вони потрапляють у пилоосаджувальну камеру. Циклонні сепаратори ефективно очищають гази, що містять часточки розміром не менш як 25 мкм. Коефіцієнт корисної дії циклонів залежить від концентрації пилу і розмірів його часточок. Середня ефективність знепилення газів у циклонах становить 78-86% для пилу розміром 30-40 мкм. Основний недолік циклонів - значне абразивне спрацювання частин апарата пилом. Тому ці частини вкривають синтетичними матеріалами або

Підп. і дата
Інв.№ дубл.
Взаєм.інв.№
Підп. і дата
Інв.№ подл.

					ТС 93454	Арк
Вип	Арк	№ докум.	Підп.	Дата		22

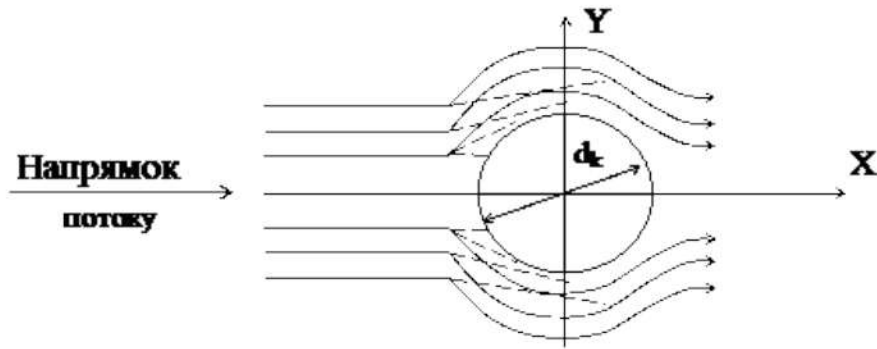


Рисунок 2.1 – Осадження частинок на кулі: рух газів; ----- рух частинок

Ефективність обеспилування в простій пилоосаджувальній камері може бути збільшена, а габарити її зменшені, якщо ефекту гравітаційного осадження частинок додати додатково момент руху вниз. Цей принцип закладений в основу багатьох конструкцій пиловловлювачів. Типовим представником цього класу пиловловлювачів є „пилові мішки” (рис. 2.1, а), які застосовуються в металургії. В такому апараті вхідна циліндрична труба додає частинкам додатково до гравітаційної сили момент, рівний приблизно $g/3$. Наприклад, такий пиловловлювач, встановлений за доменною піччю, забезпечує ступінь вловлювання до 65...80% частинок > 30 мкм.

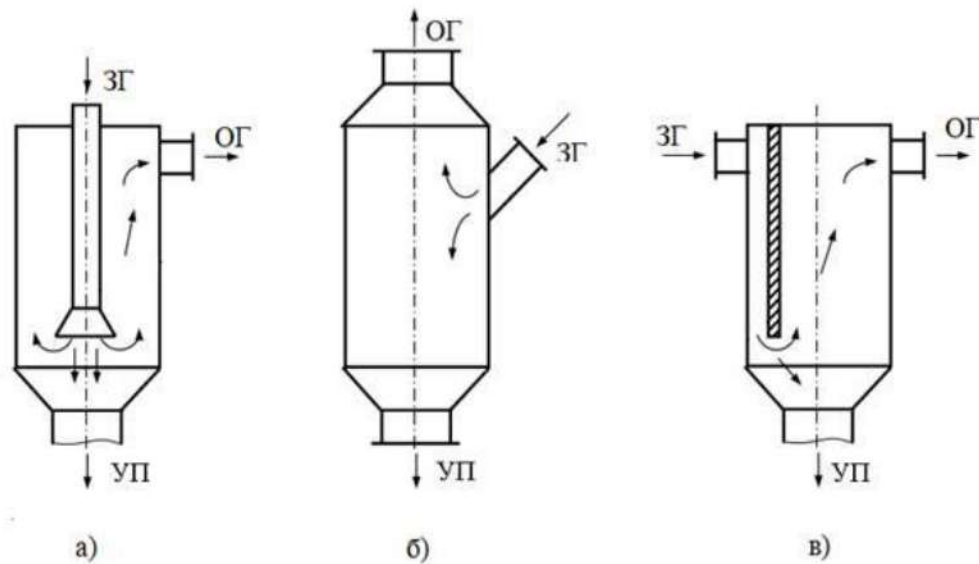


Рисунок 2.2 – Найпростіші пилоосаджувачі інерційної дії:

а) пиловий мішок з центральним підведенням газу; б) пиловий мішок з боковим підведенням газу; в) пилоосаджувач з відбивною перегородкою.

Підп. і дата
Інв. № дубл.
Взаєм. інв. №
Підп. і дата
Інв. № подл.

Вип	Арк	№ докум.	Підп.	Дата
-----	-----	----------	-------	------

ТС 93454

Арк

24

високої концентрації особливо великого пилю і можливість утворення відкладень при охолодженні газів до точки роси. [8]

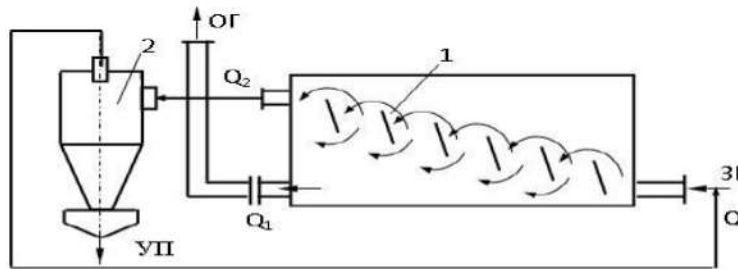


Рисунок 2.3 – Конструктивна схема жалюзійного пиловловлювача з пластинами: 1 – жалюзійні пластини; 2 – циклон

Строк служби решіток жалюзійного пиловловлювача при пиловидному спалюванні вугілля складає 6 місяців. Причому зниження ефективності очищення за рахунок їх зношення спостерігається на третьому місяці експлуатації. Тому з ростом вимог до систем очищення газів і удосконалення пилоочищувальних установок других типів для заново проєктованих газоочисних установок спостерігається тенденція до повного відказу від використання жалюзійних пило- і золовловлювачів.

2.1.3. Пилоосаджувальні камери

Пилові камери діють за принципом осадження частинок при повільному русі пилогазового потоку через робочу камеру, тому основними розмірами камери є її висота і довжина (рис. 2.4). Геометричні розміри визначають час перебування пилогазового потоку в камері і, відповідно, ефективність очищення.

Пилові камери громіздкі і мають низьку ефективність. Тому вони застосовуються в основному для вловлювання великих частинок сировинних матеріалів після обертових цементних печей, печей для обпалювання магнезиту і доломіту тощо. Матеріалом для будування камер можуть служити цегла, збірний залізобетон, сталь, дерево (для холодних газів). Габаритні розміри камери, необхідні для осадження твердих частинок з газового потоку.

Підп. і дата	
Інв. № дубл.	
Взаєм. інв. №	
Підп. і дата	
Інв. № подл.	

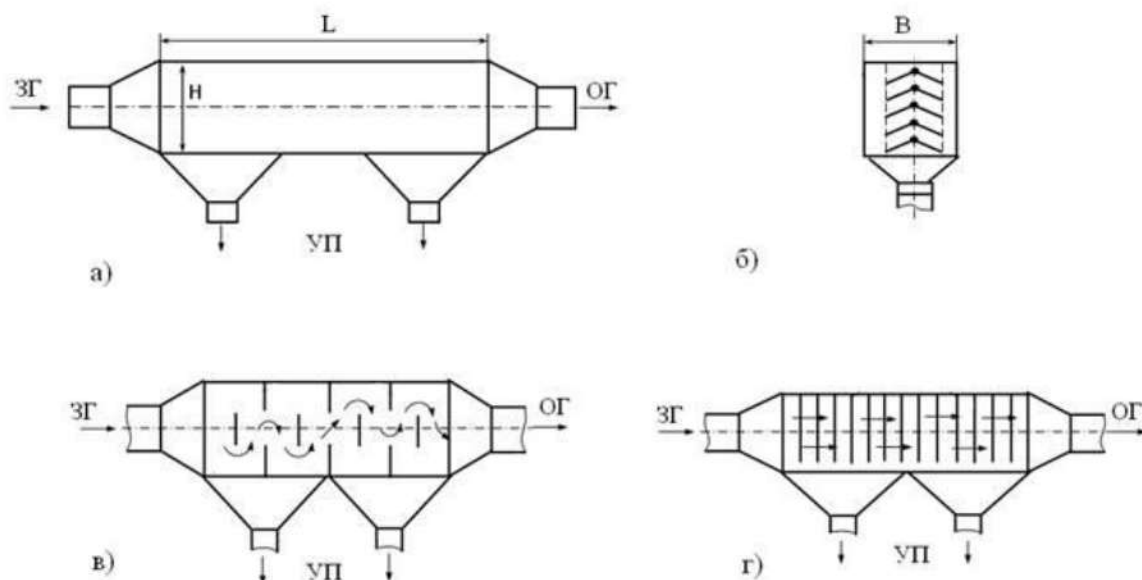


Рисунок 2.4 – Схеми пилоосаджувальних камер:

- а) найпростіша конструкція з розширенням пилопроводу;
- б) багатополична;
- в) з перегородками;
- г) з ланцюговими чи дротяними завісами.[30]

Визначимо швидкість u_g через витрати газу Q . Для цього витрати поділимо на площу перерізу каналу ($H \cdot B$).

$$d_{\text{ч}} = \sqrt{\frac{18\mu_{\text{ч}}Q}{LBg\rho_{\text{ч}}}} \quad (2.2)$$

де Q – витрати газу, м³/с;

L – довжина камери, м;

B – ширина камери, м;

$\mu_{\text{ч}}$ – динамічна в'язкість, Па · с;

g – прискорення вільного падіння, м/с²;

$\rho_{\text{ч}}$ – густина частинок, кг/м³. [19]

Для рівномірного газорозподілення по перерізу пилоосаджувальні камери можуть обладнуватися дифузорами і газорозподільними решіт-ками, а для зниження висоти осадження частинок – горизонтальними чи похилими

Підп. і дата
Інв.№ дубл.
Взаєм.інв.№
Підп. і дата
Інв.№ подл.

Вип	Арк	№ докум.	Підп.	Дата
-----	-----	----------	-------	------

ТС 93454

Арк

27

Разом з тим необхідно мати на увазі, що гідравлічний опір високо-ефективних циклонів досягає 1250....1500 Па, тому частинки розміром менше 5 мкм вловлювати циклонами погано.

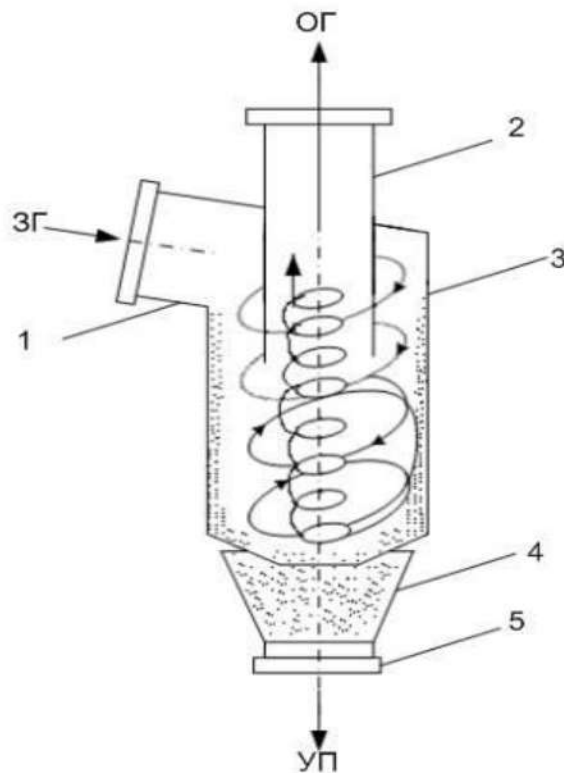


Рисунок 2.5– Схема циклону:

- 1 – вхідний патрубок; 2 – вихлопна труба; 3 – корпус;
4 – пилоосаджувальний бункер; 5 – пиловий затвор

За конструктивним виконанням циклони відзначаються великою різноманітністю влаштування підводу запиленого газу (тангенціальний, тангенціальний похилий, спіральний, осьовий з направлявальним апаратом) і самого корпусу (циліндричний, перехідний в конус, з переважно розвинутою конічною частиною, конічний, з розширеною конічною частиною, з подвійною стінкою).[15]

Всі практичні задачі щодо очищення газів від пилу з успіхом вирішуються циліндричними (ЦН-11, ЦН-15, ЦН-15У, ЦН-24) і конічними (СК-ЦН-34, СК-ЦН-34М і СДК-ЦН-33) циклонами НДІОГАЗУ (державний науково-дослідний інститут з промислового і санітарного очищення газів). Конструктивні схеми і

Підп. і дата
Інв.№ дубл.
Взаєм.інв.№
Підп. і дата
Інв.№ подл.

Вип	Арк	№ докум.	Підп.	Дата
-----	-----	----------	-------	------

ТС 93454

типові розміри циліндричних і конічних циклонів НДІОГАЗ наведені відповідно на рис. 2.6.

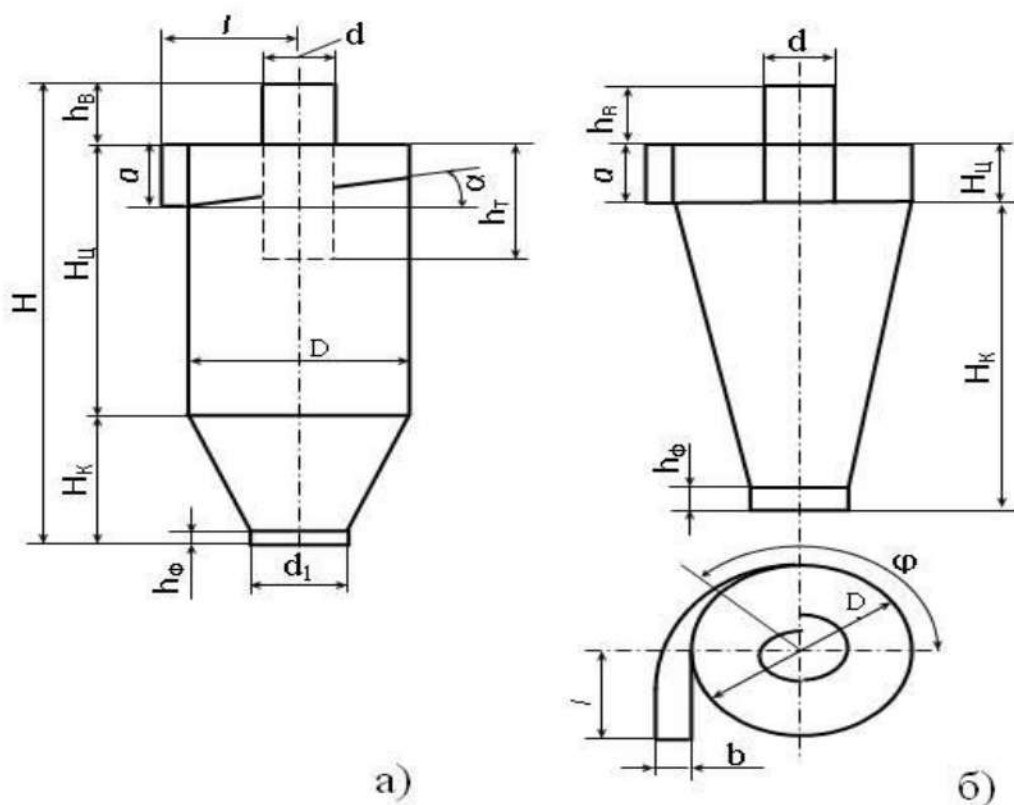


Рисунок 2.6 – Конструктивні схеми циклонів: а) циліндричний; б) конічний

Для вище перерахованих циклонів прийнятий такий ряд внутрішніх діаметрів D , мм: 200, 300, 400, 500, 600, 700, 600, 900, 1000, 1200, 1400, 1600, 1800, 2000, 2400 і 3000. В табл. 2.2 і 2.3 геометричні розміри циліндричних і конусних циклонів дані в частках внутрішнього діаметра D .

Продуктивність циклона залежить від його діаметра, збільшуючись зі зростанням останнього. Ефективність очищення циклонів серії ЦН зменшується зі збільшенням кута входу в циклон. Циліндричні циклони серії ЦН рекомендується використовувати для попереднього очищення газів і встановлювати перед фільтрами чи електрофільтрами.

Конічні циклони серії СК типу СДК-ЦН-33 і СК-ЦН-34 відрізняються від циліндричних циклонів більшим опором, значно більшою ефективністю і, в деяких випадках, можуть забезпечити необхідне очищення викидів, замінивши більш складні в експлуатації мокрі пиловловлювачі. Зовнішньо ці циклони

Інв.№ подл.	Підп. і дата
Взаєм.інв.№	Інв.№ дубл.
Підп. і дата	

Вип	Арк	№ докум.	Підп.	Дата
-----	-----	----------	-------	------

ТС 93454

Арк
30

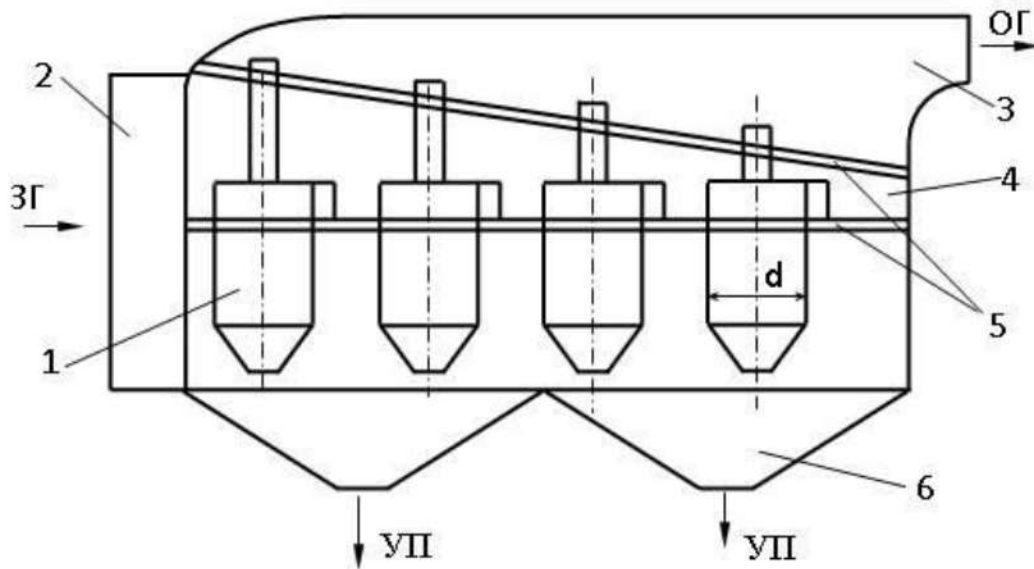


Рисунок 2.7 – Схема батарейного циклону:

1 – елементи з тангенціальними патрубками; 2 – вхідний патрубок;
 3 – камера очищеного газу; 4 – конічна камера; 5 – опорні конструкції; 6 – бункер для пилу

На рисунку 2.7 наведена схема батарейного циклону зі звичайними елементами. Запилений газ через вхідний патрубок 2 поступає в розподільну камеру 4, звідки входить в кільцеві зазори між корпусами елементів 1 і вихлопними трубами. В цих зазорах встановлені направлявальні апарати, які закручують потік газів. Вловлена зола чи пил поступає в загальний бункер 6. Знепилений газ через вихлопні труби поступає в камеру очищеного газу 3. Для закріплення корпусів елементів і вихлопних труб служать відповідно нижня і верхня опорні решітки 5.

Направлявальні апарати для закручування газів в циклонних елементах найчастіше застосовують типу „гвинт” з двома гвинтовими лопатками, нахиленими під кутом 25° , або типу „розетка” з вісьмома лопатками, нахиленими під кутом 25° чи 30° .

В батарейних циклонах з прямоточними елементами очищений газ не закручується, тому їх ефективність значно менша, ніж зі звичайними. В зв'язку з цим як самостійні пиловловлювачі вони застосовуються дуже рідко. Частіше їх

Підп. і дата
Інв. № дубл.
Взаєм. інв. №
Підп. і дата
Інв. № подл.

аспіраційних викидів і на асфальтобетонних заводах для очищення газів сушильних барабанів.

Робота димососа-пиловловлювача (рис. 2.9) заснована за таким принципом. За рахунок різниці тисків, що утворюються робочим колесом 2 на валу 1, запилений потік поступає в „равлик” 5 і набуває криволінійного руху. Під дією відцентрових сил частинки пилу відкидаються до периферії і разом з невеликою кількістю газів (8...10%) відводяться для остаточного відділення через патрубок 9 у виносний малогабаритний циклон 8, з'єднаний з „равликом” газоходами.

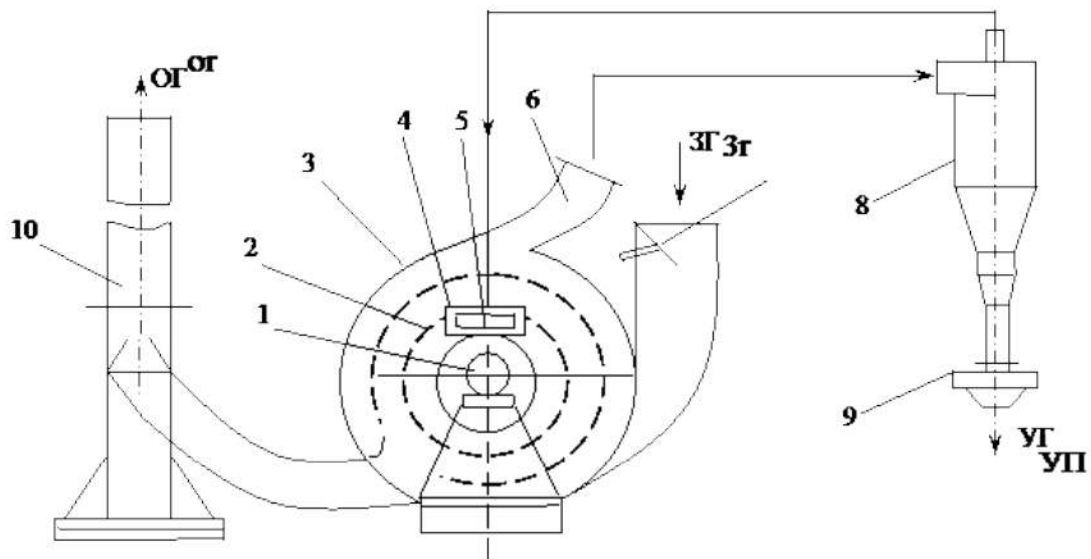


Рисунок 2.9 – Димосос-пиловловлювач:

- 1 – вал; 2 – робоче колесо; 3 – кожух; 4 – направлявальний апарат;
 5 – „равлик”; 6 – патрубок; 7 – шібер; 8 – циклон; 9 – затвор-мигалка;
 10 – димова труба

Розвантаження циклона проводиться через спускний стояк з затвором-мигалкою 10. Очищений газовий потік з циклона повертається в центральну частину „равлика”. З центральної зони „равлика” очищений газ поступає через направлявальні апарати в робоче колесо димососа, а потім через кожух 3 викидається в димову трубу 11.

Регулювання продуктивності димососа здійснюється шібером 7, при закриванні якого газовий потік притискається до периферії „равлика” і,

Підп. і дата
Інв.№ дубл.
Взаєм.інв.№
Підп. і дата
Інв.№ подл.

Вип	Арк	№ докум.	Підп.	Дата
-----	-----	----------	-------	------

ТС 93454

Арк

35

кільцями Рашіга, скловолоком або іншими матеріалами. До апаратів такого типу належать скрубери та труби Вентурі. Часто для видалення шламів, що утворюються, труби Вентурі доповнюють циклонами. Скрубери працюють за принципом протитечії: газ рухається знизу вгору, а поглинальна рідина (частіше вода) розпилюється форсунками згори вниз. Скрубери можна застосовувати для холодних і гарячих газів, які не містять токсичних речовин (кислот, хлору тощо), оскільки вони видаляються в атмосферу разом з очищеним газом у вигляді туману . У барботажних апаратах запилений газ пропускають крізь рідину (воду). Їх доцільно використовувати для очищення гарячих газів з часточками пилу розміром понад 5 мкм. Барботаж використовують також у пінних апаратах. Для створення піни у воду додають ПАР. Ефективність очищення в цих апаратах досягає 97-99%.

Недоліком мокромого очищення газів є те, що вловлений пил перетворюється на мокрий шлам. Для видалення останнього потрібно будувати шламову каналізацію, що здорожує конструкцію.

В апаратах інерційного пиловловлювання різко змінюється напрямок потоку. Часточки пилу за інерцією вдаряються об поверхню, осаджуються і через розвантажувальний пристрій видаляються з апарата. У середині апаратів розміщені пластини або кільця, об які вдаряється газ.[22] Зверху апарати можуть зрошуватися водою. Тоді пил з них видаляється у вигляді шламу.

Ультразвукові апарати використовують для підвищення ефективності роботи циклонів або рукавних фільтрів. Ультразвук сприяє адгезії і закріпленню часточок пилу. Ці апарати ефективні у разі високої концентрації пилу в очищуваному газі. Для збільшення ефективності роботи апарата його зрошують водою. Такі апарати в комплексі з циклоном застосовують для уловлювання сажі, туману різних кислот тощо.

Хімічні методи очищення викидних газів засновані на хімічному зв'язуванні шкідливих забруднювальних речовин. Дуже поширеним методом є хемосорбція, коли очищуваний газ промивають розчином речовин, що реагують із

Підп. і дата	
Інв.№ дубл.	
Взаєм.інв.№	
Підп. і дата	
Інв.№ подл.	

					ТС 93454	Арк
Вип	Арк	№ докум.	Підп.	Дата		45

Насадкові газопромивачі – це колони, заповнені тілами різної форми (рис. 2.14). Як заповнювач (насадка) застосовуються: галька, кокс, кільця з перегородками, кільця Рашіга чи Полля, кульки з полімерних матеріалів, скла чи пористої гуми. Більш тісний контакт газу, який очищається, з рідиною забезпечує кращу ефективність цих апаратів порівняно а порожнистими газопромивачами.

За направленням руху газів і рідини на садкові газопромивачі діляться на 3 групи: протиточні, прямоточні та з поперечним зрошенням.

Залежно від стану насадки вони бувають з нерухою насадкою і з рухою кульковою насадкою. Апарати з нерухою насадкою знаходять застосування при вловлюванні тонкого пилу у вигляді туманів, добре розчинного пилу а також при спільному протіканні процесів пиловловлювання, охолодженні газів і абсорбції. Ефективність вловлювання більше 2 мкм перевищує 90%. [11]Недоліком цих апаратів є забруднення каналів, які утворюються елементами насадок, зволженим пилом, що приводить до різкого збільшення гідравлічного опору і зменшення продуктивності газопромивача.

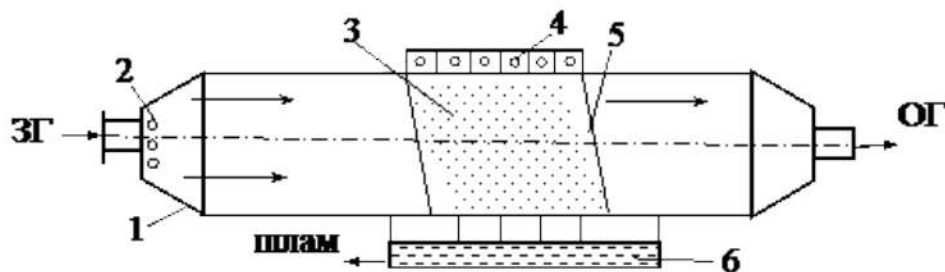


Рисунок 2.14 – Насадковий газопромивач з поперечним зрошенням:

1 – корпус; 2 – форсунки; 3 – насадка; 4 – зрошувальний пристрій; 5 – опорна решітка; 6 – шламозбірник

2.2.2 Апарати з рухою насадкою

Апарати з рухою насадкою (рис. 2.15) більш розповсюджені. В них насадка знаходиться в постійному русі, тому пил змивається, а міжелементний простір регулюється напором газу в апараті. Для забезпечення вільного перемішування насадки в газорідній суміші густина кульок не повинна перевищувати густину рідини. [7]Оптимальними є кульки діаметром 20...40 мм і

Підп. і дата
Інв.№ дубл.
Взаєм.інв.№
Підп. і дата
Інв.№ подл.

						ТС 93454	Арк
Вип	Арк	№ докум.	Підп.	Дата			47

насипною густиною 100...300 кг/м³; витрати зрошувальної рідини в межах 4...6 кг/м³; гідравлічний опір – 300...1400 Па; продуктивність для газів – 3000...40000 м³/год.

Скрубери з рухомою насадкою можуть працювати при різних режимах, але оптимальним для пиловловлювання є режим повного (розвинутого) псевдозрідження

Для забезпечення високого ступеню пиловловлювання рекомендуються такі параметри процесу: швидкість газу – 5...6 м/с; питоме зрошення 0,5...0,7 кг/м³; вільний переріз решітки $S_0 = 0,4 \text{ м}^2/\text{м}^2$ при $b = 4...6 \text{ мм}$. При очищенні газів, які вміщують смолисті речовини а також пил, здатний до утворення відкладень, застосовують щільні решітки (тарілки) з великою долею вільного перерізу ($S_0 = 0,5...0,6 \text{ м}^2/\text{м}^2$).

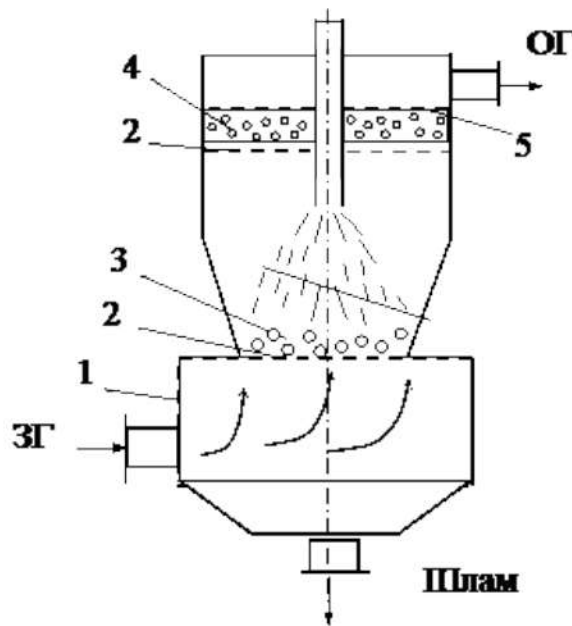


Рисунок 2.15 – Газопромивач з конічним шаром рухомої насадки:

- 1 – корпус; 2 – опорна решітка (тарілка); 3 – шар кульок;
- 4 – бризковловлювач; 5 – обмежувальна решітка; 6 – форсунка;
- 7 – шламозбірник

Вільний переріз обмежувальної решітки складає 0,8...0,9 м²/м². При виборі діаметра кульок необхідно витримувати співвідношення $D/dk \geq 10$. Оптимальними є кульки діаметром 20...40 мм і насипною густиною 200...300

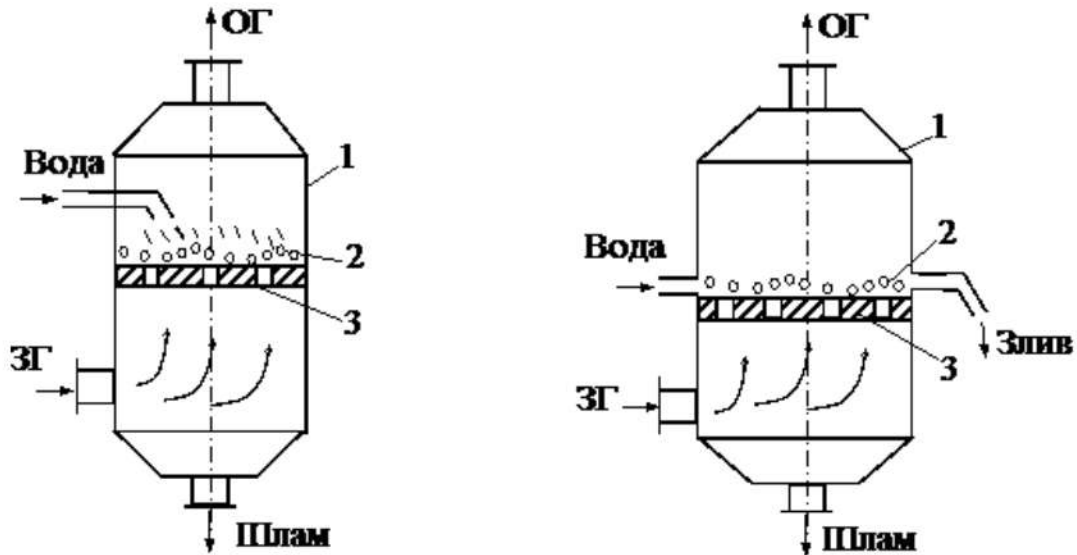
Підп. і дата
Інв.№ дубл.
Взаєм.інв.№
Підп. і дата
Інв.№ подл.

					ТС 93454		Арк
Вип	Арк	№ докум.	Підп.	Дата			48

кг/м³. Мінімальна статистична висота шару насадки Нст складає 5...8 діаметрів шарів, а максимальна визначається зі співвідношення $H_c/D \leq 1$.

2.2.3 Пінні пиловловлювачі

Основним конструктивним елементом пінного пиловловлювача (рис. 2.16, а; 2.16, б) є решітка (тарілка), яка разом з піною на ній служить полицею апарата. Решітки бувають дірчасті, цілинні, трубчасті та колосникові.



а)

б)

Рисунок 2.16 – Барботажнопінний пиловловлювач з провальною (а) і переливною (б) решітками: 1 – корпус; 2 – шар рідини і піни; 3 – решітка

Існують одно- і багатополічні апарати як з провальними так і з переливними решітками. В таких апаратах газ на очищення поступає під решітку, проходить крізь отвори в ній і, барботуючи через шар рідини і піни, очищається від частинок пилу за рахунок осадження частинок на внутрішній поверхні газових бульбашок. Режим роботи апаратів залежить від швидкості подачі газу під решітку. При швидкості до 1 м/с спостерігається барботажний режим роботи апарата.[1] Подальше збільшення швидкості газу в корпусі апарата до 2...2,5 м/с супроводжується виникненням пінного шару над рідиною, що приводить до підвищення ефективності очищення газу. Вільний переріз решітки складає 0,1...0,4 м²/м² площі перерізу апарата.

Підп. і дата
Інв.№ дубл.
Взаєм.інв.№
Підп. і дата
Інв.№ подл.

Для порівняння в пінних апаратах з d_o до 10 мм ступінь уловлення дрібнодисперсних частинок $d_v < 2$ мкм на (10 – 12)% нижче, ніж в апаратах з ПТВО.

Таким чином, проведений аналіз літературних даних свідчить, що робота апаратів з ПТВО в інтенсивному турбулентному режимі дозволяє працювати з запиленими потоками та досягти високого ступеню очищення газу.

Інв.№ подл.	Підп. і дата	Взаєм.інв.№	Інв.№ дубл.	Підп. і дата	TC 93454	Арк
						56
Вип	Арк	№ докум.	Підп.	Дата		

Стічні води виробництва містять 0,3 - 0,7% фтору та 1 - 2% P₂O₅, що вимагає нейтралізації та очищення. Щорічна втрата P₂O₅ на виробництві складає близько 4 тонн з газовими викидами і близько 700 тонн зі стічними водами.

Для правильного вибору більш ефективного пилоочисного обладнання потрібно враховувати технологічні параметри, властивості пилу та можливість утилізації шламу.

Характеристика пилу суперфосфату

Пил суперфосфату утворюється на стадії грануляції і сушки.

Пил суперфосфату відноситься до групи неорганічної пилу, являє собою порошок сірого кольору. Частинки мають округлу форму. У загальній масі пил сірого кольору. Переважають частки 16 - 40 мкм. Вміст часток менше 2,5 мкм становить 8,6%, частинок діаметром 2,5 - 10 мкм - 21,9%, діаметром більше 10 мкм - 69,5% (табл. 3.4). Механічні властивості пилу представлені в табл. 3.5

Таблиця 3.4 Дисперсний склад пилу суперфосфату

d_q , мкм	1,6	2,5	4,0	6,3	10	16	25	40	63
Вміст частинок більше d_q , % мас.	93,6	9,4	87,7	80,7	69,5	57,8	43	28,7	16

Пил суперфосфату згідно з [16] відноситься до III класу небезпечності, гранично допустима масова концентрація в повітрі робочої зони виробничих приміщень 6 мг/м³

Характеристика токсичності пилу: викликає почервоніння шкіри, роз'ятрування слизової оболонки. Нестійкість артеріального тиску, змінення зубної та кістної тканини.

Характеристика газу - носія:

- температура - 18° С;
- запиленість – 4,7 г / м³;
- концентрація сполук фтору 27 - 36 мг / м³ (в перерахунку на чистий фтор).

Підп. і дата

Інв.№ дубл.

Взаєм.інв.№

Підп. і дата

Інв.№ подл.

Таблиця 3.5 Механічні властивості пилу суперфосфату

Найменування	Позначення	Числове значення
Щільність	ρ , кг/м ³	2250-2320
Насипна щільність (не ущільнений стан)	ρ_n , кг/м ³	410-440
Насипна щільність (ущільнений стан)	ρ_y , кг/м ³	700-710
Кут природного укосу статичний	$\alpha_{ст}$	48-49
Кут природного укосу динамічний	α_{δ}	47-48
Коефіцієнт ущільнення	K_y	1,65-1,7
Відносна злежуваність	e_c , %	40-41,5
Коефіцієнт внутрішнього тертя	f	0,61-0,65
Розривна міцність (злипання)	T_p , Па	854-910
Крайовий кут змочування	Θ , град	38

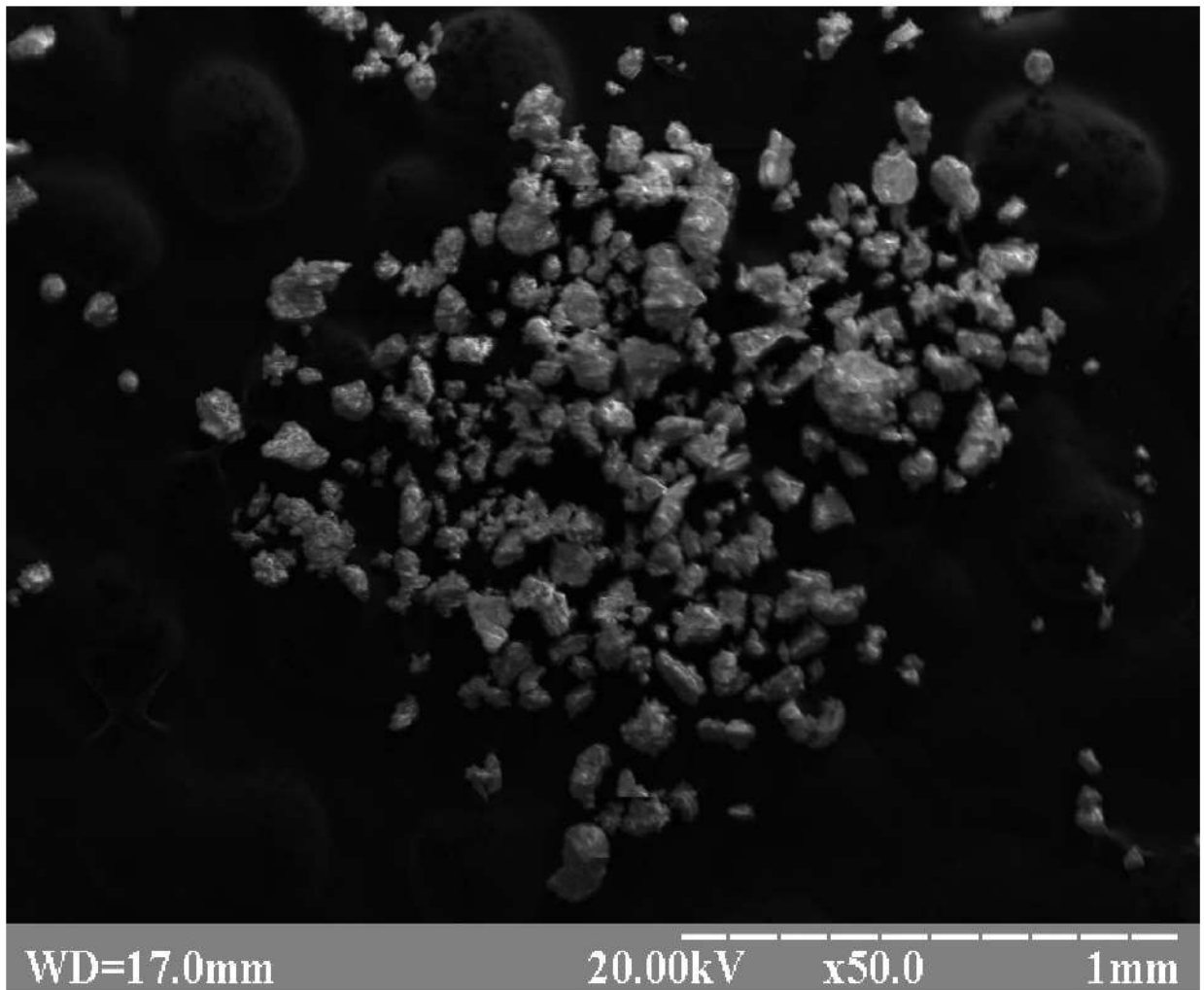


Рисунок 3.1 Пил суперфосфату під мікроскопом – 50-и кратне збільшення

Підп. і дата	
Інв.№ дубл.	
Взаєм.інв.№	
Підп. і дата	
Інв.№ подл.	

Вип	Арк	№ докум.	Підп.	Дата

ТС 93454

Арк

60

одразу ж розпадається на вихрові газорідинні потоки та призводить до турбулізації потоків і розвитку великої площі контакту фаз, де і відбувається очищення газу від домішок. При цьому в апараті утворюється настільки інтенсивний газорідинний шар, що виключає заростання отворів контактної пристрою. Очищений газ виводиться із апарату через патрубок 3, а рідина видаляється з апарату через патрубок 5.

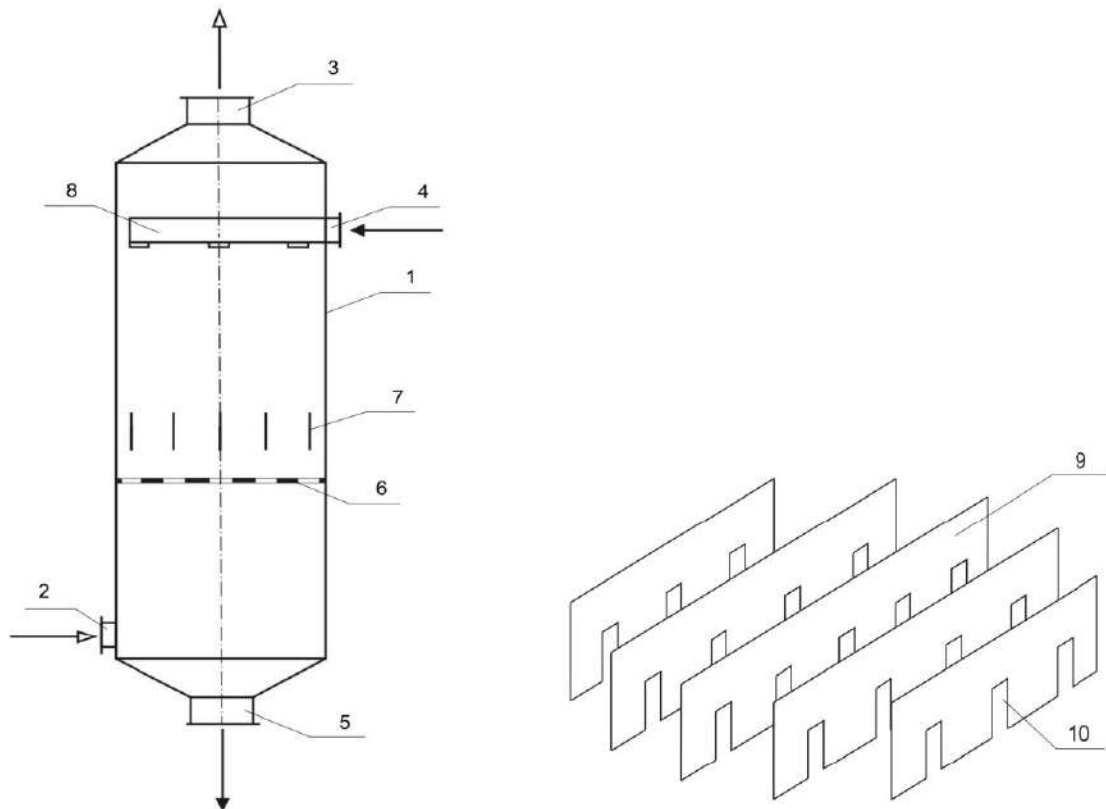


Рисунок 3.3.-Промислова установка з ПТВО:

1 – корпус; 2 – вхідний патрубок для газу; 3 – вихідний патрубок для очищеного газу; 4 – патрубок для вводу рідини; 5 – патрубок для відведення рідини; 6 – тарілка; 7 – стабілізатор; 8 – розподільний пристрій для рідини; 9 – пластина стабілізатора; 10 – пази.

Основне призначення стабілізатора 7, розташованого в пінному шарі – запобігти появі повздовжніх коливань газорідинного шару при високих лінійних значеннях швидкості газу у повному перерізі апарату. Завдяки розміщенню

Підп. і дата
Інв.№ дубл.
Взаєм.інв.№
Підп. і дата
Інв.№ подл.

Вип	Арк	№ докум.	Підп.	Дата

ТС 93454

Арк
64

стабілізатора в зоні пульсацій газорідного шару, в апараті створюється повноцінна по всій висоті високорозвинена поверхня контакту газової і рідинної фаз. У той же час спостерігається рівномірний розподіл локального газомісту шару і рідини по всьому поперечному перерізу колони (включаючи простір поблизу стінок і тарілки).

3.1 Розрахунок ПТВО для очистки газу від пилу

Знайти основні розміри газопромивачі для очистки від пилу 30000м³/год газу при 18°C . Запиленість газу на вході в апарат $c_{вх} = 0,0047\text{кг/м}^3$, ступінь очищення $\eta = 99\%$, швидкість газу в апараті $w = 3,5\text{м/с}$, швидкість газу в отворі 13м/с, висота шару піни на решітці 1м, $d_0 = 90\text{мм}$.

Швидкість газу в повному перерізі апарата є основним фактором від якого залежить ефективність очистки.

Визначаємо площу поперечного перерізу апарата:

$$f = \frac{Q}{w} 3600 \quad (3.2)$$

$$f = 30000 / 3,5 \cdot 3600 = 2,4 \text{ м}^2$$

При заданому ступені очищення $\eta = 99\%$ концентрація пилу в газі після газопромивача $c_{вих}$ визначається з формули:

$$c_{вих} = c_{вх} (1 - \eta) \quad (3.3)$$

$$c_{вих} = 0,0047(1-0,99) = 0,000047 \text{ кг/м}^3$$

Кількість вловленого пилу :

$$G_{ул} = V_0 (c_{вх} - c_{вих}) \quad (3.4)$$

$$G_{ул} = 100000 \frac{273}{273 + 18} (0.0047 - 0.000047) = 130,96 \text{ кг/год}$$

Якщо відома концентрація суспензії $c = \text{Т:Ж}$ (в кг/кг), то втрата води, тобто той об'єм води, який необхідний для утворення суспензії м³ /год, визначаються з виразу:

$$L_y = \frac{KG_{ул}}{1000c} \quad (3.5)$$

Підп. і дата	Інв.№ дубл.	Взаєм.інв.№	Підп. і дата	Інв.№ подл.	TC 93454	Арк
						65
Вип	Арк	№ докум.	Підп.	Дата		

K – коефіцієнт розподілу пилу між втратами та зливною водою, виражений відношенням кількості пилу, що потрапляє до втраченої, до загальної кількості уловленого пилу, зазвичай $K = 0,6-0,8$;

Візьмемо $c = 1:8 = 0,125$ кг/кг та $K = 0,7$. Тоді на всю решітку

$$L_y = \frac{0,7 \cdot 130,96}{1000 \cdot 0,125} = 0,73 \text{ м}^3/\text{ч}$$

на 1 м^2 решітки $0,73/2,4 = 0,3 \text{ м}^3/(\text{м}^2\text{ч})$

Основні характеристики решітки (діаметр та шаг отворів) підбирають виходячи необхідних витрат. Встановлено, що втрати води зростають зі збільшенням діаметра отвору d_0 і висоти вихідного шару рідини на решітці h_0 .

Враховуючи таку концентрацію пилу в газі як $4,7 \text{ г/м}^3$ і відносно велику легкість виготовлення решіток з крупними отворами то для забезпечення нормальної роботи апарата вибираємо швидкість газу в отворі 13 м/с .

Тоді відношення площі вільного перетину решітки f_0 до площі перерізу апарата f складе:

$$f_0/f = w/(w_0z) \quad (3.6)$$

де $z = 0,95$ – коефіцієнт, що враховує, 5% площі вільного перетину займають опори решіток і т.д.

$$f_0/f = 3,5/(13 \cdot 0,95) = 0,28 \text{ м}^2/\text{м}^2$$

При розбиванні отворів решітки з шагом t то площа дорівнює:

$$S = tx = t2\sqrt{t^2 - \left(\frac{t^2}{4}\right)} = 1.73t^2 \quad (3.7)$$

На цю площу приходиться один отвір діаметром d_0 . Площа отвору буде:

$$S_0 = 0.785d_0^2 \quad (3.8)$$

Як було знайдено вище, відношення S_0/S повинно дорівнювати $0,28 \text{ м}^2/\text{м}^2$

$$S_0/S = 0.28 \quad (3.9)$$

тоді
$$\frac{0.785d_0^2}{1.73t^2} = 0.28$$

звідки
$$t = \sqrt{\frac{0.785d_0^2}{1.73 \cdot 0.28}} \quad (3.10)$$

Підп. і дата					ТС 93454	Арк 66
	Інв. № дубл.					
Підп. і дата	Інв. №	Взаєм. інв. №				
			Інв. № подл.			
	Вип	Арк	№ докум.	Підп.	Дата	

При діаметрі отворів $d_0 = 90$ мм:

$$t = \sqrt{\frac{0.785 \cdot (90)^2}{1.73 \cdot 0.28}} = 115 \text{ мм}$$

Підрахуємо яка повинна бути висота шару піни при заданому ступеню очистці $\eta = 99\%$.

Коефіцієнт швидкості пиловловлення

$$K_{\Pi} = \frac{2\eta\omega}{(2-\eta)} \quad (3.11)$$

$$K_{\Pi} = \frac{2 \cdot 0,99 \cdot 3,5}{(2 - 0,99)} = 6,86 \text{ м/с}$$

Зв'язок між коефіцієнтом K_{Π} та висотою шару піни H виражається емпіричною формулою

$$H = K_{\Pi} - 1.95w + 0.09 \quad (3.12)$$

$$H = 6,86 - 1,95 \cdot 3,5 + 0,09 = 0,125 \text{ м.}$$

З іншої сторони для пиловловлювачів

$$H = 0,806\omega^{0.5}h_0^{0.6} \quad (3.13)$$

h_0 – висота вихідного шару води на решітці, м.

Звідси

$$h_0 = \left(\frac{H}{0,806\omega^{0.5}}\right)^{1/0,6} \quad (3.14)$$

$$h_0 = \left(\frac{0,125}{0,806 \cdot 3,5^{0.5}}\right)^{1/0,6} = 0,016 \text{ м}$$

Інв.№ подл.	Підп. і дата	Взаєм.інв.№	Інв.№ дубл.	Підп. і дата	ТС 93454				Арк
									67
Вип	Арк	№ докум.	Підп.	Дата					

1. Раціональне використання ресурсів (фінансових, матеріальних, трудових).

2. Якнайкраще задоволення соціальних (суспільних) потреб природокористувачів у природних ресурсах і умовах, а також у чистоті і різноманітті довкілля.

Є завдання соціально-еколого-економічні, при вирішенні яких задоволення соціальних потреб є метою, а економічні можливості - засобом досягнення цілей. Крім того, оцінка ефективності природоохоронних заходів - це ще і морально-етична проблема, оскільки здійснення цих заходів торкається інтересів майбутніх поколінь.

Таким чином, вирішення загального завдання оцінки ефективності середовище захисних заходів пов'язане з труднощами при зіставленні витрат і результатів. Основними з них є:

- визначення величини різнорідних витрат і їх зіставлення;
- вимірювання кінцевих результатів і їх зіставлення за соціальною корисністю для різних природокористувачів;
- облік чинника різночасності витрат і результатів, чинника невизначеності, (ризик) соціально-економічних і екологічних процесів.

Необхідно враховувати як соціально-економічні, так і демографічні, національні, політичні та інші наслідки цих змін.

В економічній теорії виділяють дві групи узагальнюючих показників: абсолютні і порівняльні.

Абсолютні показники ефективності визначаються як результат безпосереднього ділення ефекту на витрати, що його викликали.

При розрахунках використовуються такі варіанти обліку **витрат**:

- *повні витрати* (капітальні і поточні) за весь період реалізації заходу;
- *капітальні вкладення* (інвестиції) на реалізацію заходу.

У вигляді зазначеного *ефекту* найчастіше використовують:

Підп. і дата
Інв. № дубл.
Взаєм. інв. №
Підп. і дата
Інв. № подл.

Вип	Арк	№ докум.	Підп.	Дата

ТС 93454

Арк

70

Маса викиду була розраховано у відповідності з формулою 4.10 і становить:
з існуючою системою очистки $m_i = 44,58$ т/рік;

із запропонованою - $m_i = 3,18$ т/рік.

Сумарна наведена маса викиду розраховувалася за формулою 4.9 і становить: для існуючої системи очистки $M = 74,45$ умов.т/рік;

для запропонованої - $M = 5,31$ умов.т/рік

Модернізація скруберів в які будуть встановлені провальні тарілки великих отворів, монтаж яких складає 2000 грн.

Викиди в атмосферу складають 800 т/рік податок за викид на існуючому обладнанні складає 10000 грн/рік.

Економічний збиток заподіяний атмосферними викидами розрахований за формулою 4.8 і становить для систем очищення:

діюча, тобто 60% $Y_1 = 10000$ грн/рік;

запропонованої, 99,6% $Y_2 = 2000$ грн/рік.

Різниця буде становити $\Delta Y = Y_1 - Y_2 = 10000 - 2000 = 8000$ грн/рік.

Таблиця 4.1 - Економічні характеристики систем очищення

Показник	Діюча система очистки	Система очистки, що пропонується	Різниця
Ефективність очищення	60%	99,6%	39,6%
Економічний збиток, грн/рік	$Y_1 = 10000$	$Y_2 = 2000$	$\Delta Y = 8000$
Податок за забруднення, грн/рік	$\Pi_{ат1} = 1466,96$	$\Pi_{ат2} = 104,64$	$\Delta \Pi_{ат} = 1362,32$

Підп. і дата					TC 93454	Арк
Інв.№ докл.					TC 93454	Арк
Взаєм.інв.№						
Підп. і дата						
Вип	Арк	№ докум.	Підп.	Дата		

7.Температура повітря:

а)назовні

взимку -22°C

перехідний період +10°C

влітку +25°C

б)всередині

взимку +16 °С

перехідний період -16°C

влітку +30 °С

8.Швидкість повітря 0,3-0,7 м/с

В боротьбі з пилевиділенням від технічного обладнання запроектована аспіраційна система продуктивності 15300 м³/год

Витяжка компенсується організованим притоком (з механічним спонуканням)

Повітря перед викидом в атмосферу попередньо очищується в скрубєрі Вентурі з поверненням вловленого пилю виробництва.

Припливне повітря подається вентисистемами продуктивністю 15300 м³/год

Розрахунок:

Для асиміляції теплонадлишка запроектована загально обмінна вентиляція.

Повітрообмін для видалення надлишкового тепла розраховується по наступній формулі:

$$L_{пр} = Q_{надл} / 0,24 \cdot r_{пр} (t_{вип} - t_{пр}) , \quad (5.1)$$

де $Q_{надл}$ -надлишкове тепловиділення,ккал/год;

0,24-теплоємність сухого повітря,ккал/(кг•град);

$r_{пр}$ - щільність припливного повітря,дорівнює 1,2 кг/м³

$t_{вип}$ -температура видаленого повітря

$t_{пр}$ - температура приточного повітря

Розрахунок надлишкового тепловидалення $Q_{надл}$:

$$Q_{надл} = Q - Q_{ух} \quad (5.2)$$

Q -сумарна кількість вступного в приміщення тепла;

Підп. і дата					ТС 93454	Арк 85
	Інв.№ дубл.					
Взаєм.інв.№						
Підп. і дата						
Інв.№ подл.						
Вип	Арк	№ докум.	Підп.	Дата		

Довідкове видання. - К: Металургія, 1986. - 544 с.

36. ГОСТ 12.2.032-78 Робоче місце під час виконання робіт сидячи. Загальні вимоги ергономії.
37. Основи охорони праці С. Ц. Жидецький, В. С. Джигір, О. В. Мельников - Вид. 2-ге, стереотипне. - Львів: Афіша, 2000. - 348 с.
38. ДСН 3.3.6.042 – 99 Санітарні норми мікроклімату виробничих приміщень.
39. СНиП 2.04.05-91 Опалення, вентиляція та кондиціонування повітря
40. СНиП 2.09.04-87 Адміністративні та побутові будівлі та споруди
41. ГОСТ 12.1.005-88 ССБТ. Загальні санітарно-гігієнічні вимоги до повітря робочої зони
42. Макарова Н.С., Гармідер Л.Д., Міхальчук Л.В. Економіка природокористування: Навч. посібник. – К.: Центр учбової літератури, 2007 – 322с.
43. Основи екології. Екологічна економіка та управління природокористуванням / За заг. ред. Л.Г Мельника, М.К Шапочки. – Суми: ВДТ «Університетська книга», 2005 – 759с.
44. Постанова КМ України від 1.03.1999р. №303 Про затвердження Порядку встановлення нормативів збору за забруднення навколишнього природного середовища та стягнення цього збору (Зі змінами, внесеними згідно з Постановами КМ №391 (391-2009-п) від 24.04.2009)

Інв.№ подл.	Підп. і дата	Взаєм.інв.№	Інв.№ дубл.	Підп. і дата	TC 93454	Арк
						94
Вип	Арк	№ докум.	Підп.	Дата		